

مطالعه اثرات هیستوپاتولوژیک آلاینده‌های جوشکاری الکتریکی

بر کبد در موش صحرایی

دکتر محمد رضا عرب*، دکتر لیلا روستا**، دکتر فریدون سرگلزایی اول*، مریم حیدری***، دکتر مهربد کریمی****

تاریخ دریافت مقاله: ۱۰/۰۲/۸۳

* دانشگاه علوم پزشکی و خدمات بهداشتی درمانی زاهدان، دانشکده پزشکی، گروه علوم تشریحی

تاریخ پذیرش مقاله: ۰۳/۵/۸۴

** پزشک عمومی دانشگاه علوم پزشکی و خدمات بهداشتی درمانی زابل، دانشکده پزشکی، گروه بیوشیمی

**** دانشگاه علوم پزشکی و خدمات بهداشتی درمانی زاهدان، دانشکده پزشکی، گروه آسیب شناسی

چکیده

زمینه و هدف: توسعه روز افزون صنعت و تکنولوژی، استفاده از فرآیند جوشکاری را در صنایع فلزی سبک و سنگین اجباری کرده است. هنگام جوش فلزات به کمک جریان الکتریسیته، آلاینده‌هایی تولید می‌شوند که مطالعات جدید اثرات مضر آنها بر دستگاه تنفسی، گوارشی، تولید مثلی و خون را نشان داده است. هدف از این مطالعه شناسایی تغییرات سلول‌های کبدی به روش دقیق لکین هیستوشیمی و اندازه گیری فعالیت آنزیم‌های کبدی پس از تاثیر این گازها بر یک مدل تجربی در شرایط قابل کنترل از نظر میزان آلودگی با این فیوم‌ها بود.

مواد و روش کار: ۶۰ سر موش صحرایی از نژاد Sprague Dawley با وزن 20 ± 250 گرم انتخاب و پس از سازش با محیط به دو گروه آزمایش (۴۰ سر) و شاهد (۲۰ سر) تقسیم شدند. هر کدام از زیر گروه‌های آزمایش و شاهد بر اساس مدت زمانی مواجهه با گازها به زیر گروه‌های ۲، ۴، ۶ و ۸ هفتگه ای تقسیم شدند. تعداد موش‌ها در هر زیر گروه آزمایش و شاهد به ترتیب ۱۰ و ۵ سر بود. موش‌های گروه آزمایش به مدت ۲ ساعت در روز و ۵ روز در هفتگه در معرض گازهای جوشکاری قرار گرفتند. میزان گازهای هوای درون اتفاقک گاز هر ساعت ۱۵ تا ۱۵ بار تعویض شد. مقدار گازهای ازن، دی اکسید کربن، مونواکسید کربن، دی اکسید و مونواکسید نیتروژن و ذرات معلق به ترتیب با دتکتورهای Gastec و فیلترهای استاندارد استاتات سلوتز اندازه گیری شد. بر اساس جدول زمانی از موش‌های تمام گروه‌ها نمونه خونی و کبدی گرفته شد. نمونه‌های بافتی مطابق روش معمول پاساژ و برش گیری شد و با روش‌های هماتوکسیلین-ائوزین، لکتین های WGA و پاس رنگ آمیزی شد. اطلاعات آماری به کمک آزمون‌های غیر پارامتری من ویتنی و کروسکال والیس تجزیه و تحلیل شدند.

یافته‌ها: نتایج این مطالعه حضور دی ساکارید گالاکتوز آمین را به میزان بسیار کمی در بافت همبندی ورید مرکز لبولی و اسید سیالیک و قند انتهایی ان استیل گالوکز آمین را در سلول‌های اندوتیلیومی سیتوزوئیدها در کبد نشان داد. در رنگ آمیزی پاس میزان گلیکوژن در سلول‌های محیطی لبول کبدی گروه‌های جوشکاری مخصوصاً گروه ۸ هفتگه‌ای نسبت به شاهد تغییر یافته بود. نتایج حاصل از آنالیز اطلاعات آماری نشان داد که اختلاف میزان فعالیت آنزیم‌های آلkalین فسفاتاز و AST و ALT در گروه‌های شاهد و آزمایش در این دوره زمانی از نظر آماری معنی دار نبود.

نتیجه گیری: به نظر می‌رسد تغییرات سلولی و آنزیمی در کبد متعاقب تاثیر گازهای جوشکاری وابسته به مدت زمان آلودگی با این آلاینده‌ها بوده و اثر تجمیعی داشته باشد. مطالعات تكمیلی آینده نقش بیشتر این تغییرات و ارتباط آن با پاتولوژی بیماری‌های کبدی را نشان خواهد داد. (مجله طبیب شرق، سال هفتم، شماره ۲، تابستان ۱۳۸۴، ص ۹۳ تا ۹۹)

گلواژه‌ها: کبد، فیوم‌های جوشکاری، لکتین، قند انتهایی

مقدمه

دیگر تغییری را در میزان این آنژیم‌ها در کارگران جوشکار گزارش نکرده است.^(۴)

آسیب سلول‌های کبدی متعاقب تاثیر مواد سمی، منجر به تغییر سطح سرمی آمینوتانسفرازها می‌گردد. هر چند افزایش میزان این آنژیم‌ها غیراختصاصی می‌باشد، اما همیشه افزایش شدید این آنژیم‌ها نشان دهنده آسیب سلول‌های کبدی است. جوش فلزات در فرآیندهای صنعتی تقریباً روندی غیر قابل حذف در صنایع سبک و سنگین است که منجر به تصاعد گازها و ذرات معلقی می‌گردد که اثرات زیان‌بار آنها بر دستگاه تنفسی، اعصاب، تولید مثل، چشم و گوش نشان داده شده است.^(۳) مطالعات اخیر تغییر نسبت‌های اجزای ماتریکس خارج سلولی متعاقب تاثیر گازهای جوشکاری بر ریه را نشان داده است، افزایش میزان رشته‌های کلاژن در این سری مطالعات پس از مواجهه مزمن با این آلاینده‌ها یکی از مهم‌ترین یافته‌های مطالعه فوق است.^(۵) هم چنین تغییر ترکیبات قندی سطح سلول (گلیکوکونژوگه‌ها) در سلول‌های پوششی مجاری صفوای و سلول‌های کوپفری در کبد همراه با تغییر ماهیت آنها نشان داده شده است.^(۶) هدف از این مطالعه شناسایی تغییرات میزان ذرات گلیکوژن و گلیکوکونژوگه‌های سطح سلول در کبد متعاقب تاثیر گازهای حاصل از جوشکاری در شرایط قابل کنترل از نظر میزان آلدگی با گازها و ذرات معلق حاصل از جوشکاری در موش صحرایی به عنوان یک مدل تجربی بود.

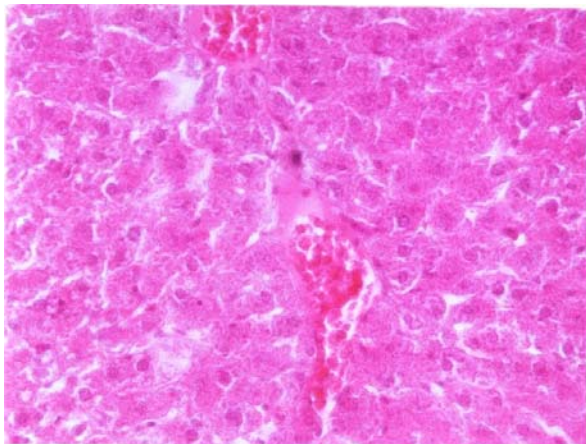
روش کار

۶۰ سر موش صحرایی از نژاد Sprague Dawley با وزن ۲۰ ± ۲۰ گرم انتخاب شدند و در دو گروه آزمایش (۴۰ سر) و شاهد (۲۰ سر) قرار گرفتند. هر کدام از زیر گروه‌های آزمایش و شاهد به چهار زیر گروه $۲, ۴, ۶$ و ۸ هفتگه‌ای تقسیم شدند. تعداد موش‌ها در هر زیر گروه آزمایش و شاهد به ترتیب برابر ۱۰ و ۵ سر بود. حیوانات پس از سازش با محیط زندگی در شرایط استاندارد از نظر درجه حرارت (۲۲ ± ۲)، رطوبت ۴۵ تا ۵۰

کبد به عنوان یکی از عدد بزرگ ضمیمه دستگاه گوارش، وظایف متعددی به عهده دارد که تنظیم گلوکز خون، ساخت پروتئین‌های پلاسمایی، ترشح اسیدهای صفوای و خثی سازی مواد سمی و داروها بخشی از این کارکردها می‌باشد. استقرار کبد در مسیر جمع آوری خون دستگاه گوارش، ضمن انجام عمل تصفیه خون از مواد جذب شده در روده‌ها، امکان صدمات جدی برای کبد را نیز فراهم می‌آورد. هر چند انجام بیوپسی همیشه به عنوان بهترین روش تشخیصی برای ضایعات کبدی معرفی می‌شود، ولی به علت ماهیت تهاجمی آن، استفاده از دیگر روش‌های تشخیصی همیشه از جایگاه با اهمیتی در پزشکی برخوردار بوده است. اندازه گیری میزان آنژیم‌های کبدی، هر چند نشانه دقیقی از عملکرد کبدی نیست، اما به عنوان شاخص بسیار با اهمیتی در نشان دادن ضایعات متعدد کبدی مطرح است.^(۱)

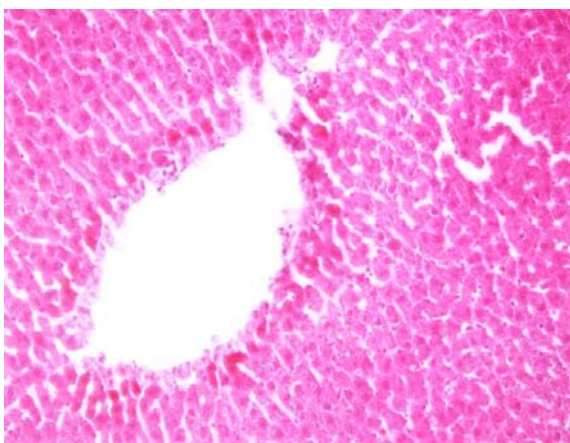
هنگام جوش فلزات به کمک جریان الکتریکی معمولاً آلاینده‌هایی به وجود می‌آید که پس از جذب از طریق دستگاه تنفس و گوارش وارد خون شده و اثرات متعددی را بر دستگاه‌های بدن از جمله کبد به وجود می‌آورند. مهم‌ترین گازهای متصاعد شده، هنگام جوش الکتریکی آهن گازهای ازون، مونو اکسید کربن، دی اکسید کربن، دی اکسید نیتروژن و مونو اکسید نیتروژن می‌باشند، بعلاوه ذرات فلزی معلق فراوانی (آهن، منگنز، روی و مس) نیز آزاد می‌شوند. مطالعات نشان داده که این فیوم‌ها توانایی ایجاد موتاسیون و اثرات ساختاری فراوانی بر اعضای بدن دارند و بنابراین احتمال خطر برای کارگرانی که با این فیوم‌ها تماس دارند، نسبت به افراد عادی بسیار زیاد است.^(۲) هنوز در مورد اثرات کبدی این گازها اتفاق نظر چندانی وجود ندارد، آن چنان که مطالعه‌ای افزایش میزان آنژیم‌های کبدی را در کارگران متعاقب مواجهه با گازهای جوشکاری نشان داده است.^(۳) در حالی که مطالعه

کبدی همراه با احتقان عروقی که منجر به تغییر شکل سلول های هپاتو سیتی کبد و فشردگی سلولی شده بود همراه با افزایش حالت اسیدوفیلی سیتوپلاسم کاملا مشخص بود. در نمونه های آزمایش ۶ و ۸ هفتاهی تنها شدت این واکنش ها افزایش یافته بود (فتو میکرو گراف های ۲-۱).



فتو میکرو گراف ۱: نمایی از لبول های کبدی همراه با اتساع جزیی عروق خونی در نمونه ای از گروه جوشکاری ۲ هفتاهی ای نشان داده شده است. $\times 400$

H-E \times



فتو میکرو گراف ۲: نمایی از لبول های کبدی همراه با سلول های پیکنوتیک و اسیدوفیل در اطراف عروق خونی در نمونه ای از گروه جوشکاری ۶ هفتاهی ای نشان داده شده است. $\times 200$

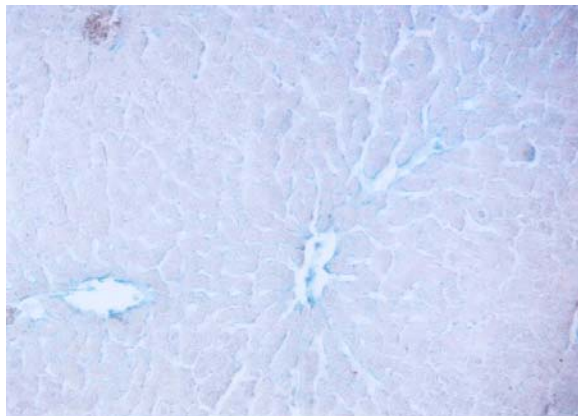
در نمونه های جوشکاری هفتاهی ۶ و ۸ در کلیه لام های تهیه شده از موش ها، میزان ذرات گلیکوژن در تمام نواحی کبدی کاهش یافته بود و این کاهش مخصوصا در نواحی III آسینوس کبدی قابل رویت بود (فتو میکرو گراف های ۴-۳).

در صد، ۱۲ ساعت تاریکی و ۱۲ ساعت روشنایی و دسترسی آزاد به آب و مواد غذایی نگهداری شدند. موش های گروه آزمایش به مدت ۲ ساعت (ساعت ۱۲ تا ۱۴)، ۵ روز اول هفته درون اتفاقک گاز در معرض گازهای جوشکاری قرار گرفتند. سرعت جوشکاری (صرف الکترود) 0.1 cm/s و سرعت تعویض هوای درون اتفاقک ۱۲ تا ۱۵ بار در ساعت ثابت نگه داشته شد. الکترودهای مورد استفاده، الکترودهای استاندارد آما ۲۰۰۰ و شدت جریان الکتریکی 100 آمپر بود. هر هفته ۲ بار میزان گازهای ازن، مونو اکسید کربن، دی اکسید کربن، مونو اکسید نیتروژن و دی اکسید نیتروژن و میزان ذرات معلق عناصر فلزی آهن، روی، مس و منگنز به ترتیب به کمک دکتورهای Gastec و فیلترهای استاندارد استات سلوزل با قطر 0.8 میکرومتر و توسط Atomic absorption میکرومتر و توسط روش معمول بافتی پاساژ داده شده و از بلوک های پارافینی تهیه شده مقاطعی با ضخامت ۵ تا ۷ میکرومتر تهیه و با رنگ آمیزی های هماتوکسیلن - ائوزین، پاس، آلسین بلو با اسیدیته $2/5$ و روش لکتینی (Sigma & WGA) مورد مطالعه قرار گرفتند.^(۸) برای اندازه گیری میزان فعالیت آنزیم های مورد مطالعه (آلکالین فسفاتاز، آلانین آمینو ترانسفراز و آسپارتات آمینو ترانسفراز) خون گیری مستقیما از قلب انجام گرفت و با کیت پارس آزمون به روش کیتیک انجام گرفت. اطلاعات به دست آمده با نرم افزار آماری SPSS آنالیز گردید و $P < 0.05$ معنی دار تلقی شد. اطلاعات آماری به کمک آزمون های غیر پارامتری من ویتنی و کروسکال والیس تجزیه و تحلیل شدند.

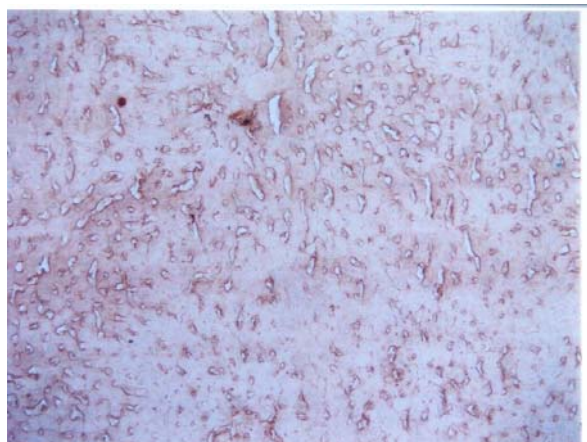
یافته ها

نتایج حاصل از مشاهده لام ها در نمونه های جوشکاری ۲ و ۴ هفتاهی ای آثار دژنرنسانس سلولی مخصوصا در ناحیه I آسینوس

(فتو میکرو گراف های ۵-۶). نتایج حاصل از آنالیز آماری آزمون کروسکال والیس برای آلkalin فسفاتاز، AST و ALT اختلاف معنی داری را میان گروه های مورد مطالعه نشان نداد.



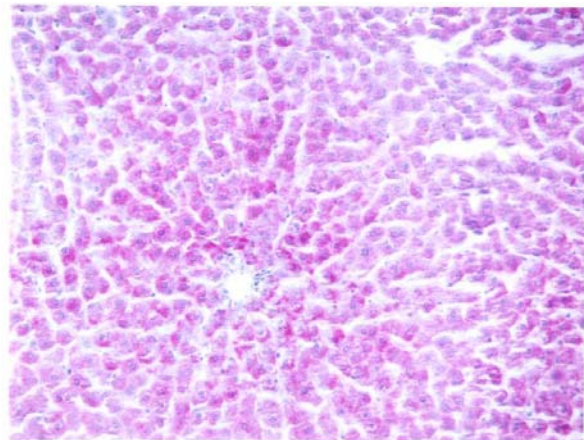
فتو میکرو گراف ۵: عدد پاسخ سلول های هپاتو سیتی کبد به لکتین PNA و اکنیش محدود بافت همبندی ساب اندو تیال به آلسین بلو در نمونه ای از کبد گروه شاهد ۶ هفته ای نشان داده شده است. $\times ۲۰۰$
PNA/Alcian blue pH=2.5



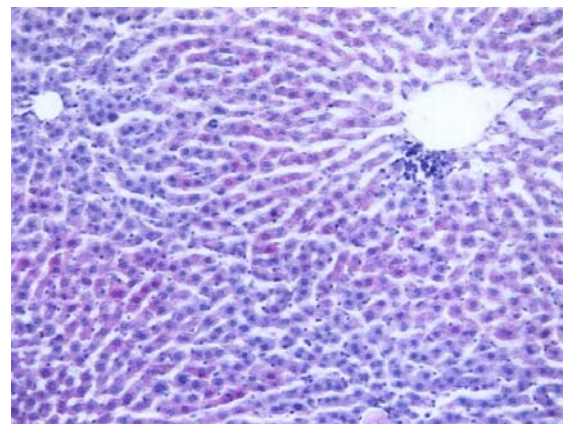
فتو میکرو گراف ۶: پاسخ های سلول های اندوتلیومی سینوزوئیدها به صورت فقط متراکم ضعیفی در نمونه ای از گروه شاهد ۶ هفته ای نشان داده شده است. $\times ۲۰۰$
WGA/Alcian blue $\times ۲۰۰$
pH=2.5

بحث

نتایج این مطالعه تغییر همراه با کاهش جزئی میزان فعالیت آنزیم های کبدی را پس از مواجهه با ذرات معلق و فیوم های حاصل از جوشکاری نشان داد هر چند این تغییرات برای تمام گروه های مورد مطالعه از نظر آماری معنی دار بود. تغییرات سلول های هپاتو سیتی پس از مواجهه با این گازها به صورت دژنرنسیس سلولی و افزایش میزان اسیدوفیلی سیتو پلاسم



فتو میکرو گراف ۷: الکوئی توزیع ذرات گلیکوژن در هپاتو سیت های کبدی در نمایی از لبول های کلاسیک کبدی در نمونه ای از گروه شاهد ۶ هفته ای نشان داده شده است. $\times ۲۰۰$
PAS $\times ۲۰۰$



فتو میکرو گراف ۸: تغییر الکوئی توزیع ذرات گلیکوژن در نمایی از لبول کبدی در نمونه ای از گروه جوشکاری ۶ هفته ای نشان داده شده است. $\times ۲۰۰$
PAS $\times ۲۰۰$

در نمونه های لکتینی PNA/Alcian blue تنها بخش های واکنش دهنده به آلسین بلو بافت همبندی محدود ساب اندو تیال ورید مرکز لبولی برای آلسین بلو بود. بدین ترتیب وجود قند انتهایی گالاکتوز / ان استیل گالاکتوز آمین در بخش های واکنش دهنده نشان داده می شود. در نمونه های لکتینی WGA/Alcian blue در نمونه های جوشکاری تنها بخش های واکنش دهنده به لکتین سلول های اندوتلیومی سینوزوئیدها کبدی و تشکیلات عروقی تربیاد پورت بودند، بدین ترتیب وجود قند انتهایی ان استیل گالاکتوز آمین و اسید سیالیک در بخش های واکنش دهنده نشان داده می شود

تغییرات جدی در هیستولوژی کبد و یا میزان آنزیم های ترانس آمیناز و آلکالن فسفاتاز کبدی در دوره های کوتاه مدت مواجهه با فیوم های جوشکاری بود.^(۱۱) تغییر میزان فعالیت این آنزیم ها همراه با تغییر میزان ذرات گلیکوژن در هپاتوسیت های محیطی لبول های کبدی به مراتب بیشتر از هپاتوسیت های مرکزی در کارسینوماها گزارش شده است. به نظر می رسد تغییر الگوی توزیع و میزان ذرات گلیکوژن می تواند مبنایی برای تعیین میزان آسیب واردہ به سلول های کبدی باشد.^(۱۲) مطالعه دیگری نشان داده که می توان نوعی اثر تجمعی بخارات سمی حاصل از تبخیر حلال های صنعتی را در کارگران ملاحظه کرد، آن چنان که هر چه زمان مواجهه با این ذرات بیشتر باشد، به نظر می رسد میزان تغییرات آنزیمی و هیستولوژی کبدی نیز با افزایش زمان مواجهه افزایش می یابد.^(۱۳) پژوهش های دیگری نشان داده که برای کارگرانی که با حلال های صنعتی سروکار دارند افزایش نسبت ALT/AST می تواند نشان دهنده خطرات احتمالی هپاتوتوكسیسیته این بخارات باشد و بنابراین برای کارگرانی که در معرض مواجهه طولانی مدت با این مواد هستند، معاینات مداوم پزشکی پیشنهاد می گردد.^(۱۴) به نظر می رسد اثرات آلانینه های جوشکاری بر کبد از نوعی حالت تجمعی برخوردار هستند که در زمان های کوتاه مدت اثرات آنها موجب ایجاد نوعی پاسخ تحملی می گردد و در صورت ادامه آلدگی اثرات هیستولوژیک ایجاد شده احتمالاً می تواند باعث تغییرات شدید سطح سرمی آنزیم های کبدی گردد.

سپاسگزاری

از همکاران شورای محترم پژوهش دانشگاه، دانشکده پزشکی زاهدان و مرکز تحقیقات دانشگاه، همچنین آزمایشگاه لکتین هیستوشیمی گروه، جهت حمایت های مالی شکر و قدردانی می گردد. همچنین از هلال احمر جمهوری اسلامی ایران برای سفارش مواد از شرکت سیگما سپاسگزاری می شود.

مخصوصاً در نواحی محیطی لبول های کبدی در اطراف عروق خونی مشخص بود. در رنگ آمیزی پاس تغییر در الگوی توزیع ذرات گلیکوژن در هپاتوسیت ها کاملاً نمایان بود. همچنین در واکنش های لکتینی در حالی که برای لکتین PNA که توانایی ردیابی قند انتهایی Gal/GalNac را دارد، در سلول های هپاتوسیتی واکنشی دیده نشد ولی برای لکتین WGA با توانایی ردیابی اسید سیالیک و قند انتهایی GluNac تنها اندوتیلیوم سینوزوئیدها واکنش دادند و این واکنش در گروه های جوشکاری نسبت به شاهد افزایش نشان می داد. مطالعات Guzelian و همکاران ارتباط بین آلدگی های محیط های شغلی و هپاتوتوكسیسیتی متعاقب آن را در کارگران صنایع چاپ که در معرض بخارهای سمی حلال هایی هم چون تولوئن هستند را نشان داده است. در این مطالعه افزایش میزان سرمی ترانس آمیناز های کبدی (ALT و AST) و هم چنین افزایش نسبت ALT/AST نشان داده شده است. تنها یافته های هیستولوژیک این مطالعه افزایش میزان ذرات چربی در سلول های کبدی به شکل Pericentral fatty liver شده است. در حالی که در مطالعه ما تغییرات جزیی میزان فعالیت آنزیم های کبدی همرا با شروع روند دئترسانس در سلول های کبدی اطراف عروق خونی به صورت افزایش اسیدوفیلی و مچاله شدن و کوچک شدن هسته همراه بود.^(۹) از آنجا که مولکول های قندی پروتئینی سطح سلول نقش مهمی در شروع واکنش های التهابی دارند، توجه به این ترکیبات در فرآیند شروع ضایعات کبدی می تواند از اهمیت ویژه ای برخوردار باشد. مطالعه Alory و همکاران استفاده از روش لکتین هیستو شیمی به کمک PNA را نشان داده است.^(۱۰) توجه به توزیع ذرات گلیکوژن به کمک روش پاس در بیماری ها و اهمیت آن در مطالعه Kudryavtseva و همکاران نشان داده شده است. نتایج مطالعه حاضر نیز نشان دهنده تغییر توزیع این ذرات پس از مواجهه با این فیوم ها و قبل از بروز

References

1. Ghany M, Jay HH. Approach to the Patient with Liver Disease. In: Kasper DL, Fauci AS, Longo DL. Harrison's Principle of Internal Medicine. 16th ed. New York: McGraw Hill; 2005.PP.1808-16.
2. Jelmert O-Hansken. Cytogenetic Studies of Stainless Steel Welders, Using Tangstoinert gas and Inert Gas Methods for Welding. *Mutant Res* 1995; 342: 77-83.
3. Kalliomaki PI, Kalliomaki K, Korhonen O, et al. Respiratory Status of Stainless Steel and Mild Steel Welders. *Scan J Work Environ Health* 1982; 8: 117-21.
4. Bradshaw LM. Chronic effects of Welding Exposure on Liver, Testis and respiratory System. *Occ Environ Med* 1998; 55: 150-4.
5. Yu Se, Song KS, Chang HK, et al. Lung fibrosi in spague- Dawley rats, induced by exposure to manual metal Arc stainless steel welding fumes. *Toxicology Science* 2001; 63: 99-106.
6. Cao Y, Merlin A, Crocker PR, et al. Differential Expression of beta-galactoside alpha 2:6 saialyltransferase and sialoglycan in normal and cirrhotic liver and hepatocellular carcinoma. *Lab Invest* 2002; 82: 1515-24.
7. Yu Se, Song KS, Chang HK, et al. Lung fibrosis in Sprague Dawley rats, Induced by exposure to manual metal arc stainless welding fumes. *Toxicology Science* 2001; 63: 99-106.
8. Fazel AR, Schulte BA, Spicer SS. Glyco conjugate unique to migrating primordial germ cell differs with genera. *Anat Rec* 1990; 228: 177-84.
9. Guzelian P, Mills S, Fallon HJ. Liver structure and function in print workers exposed to toluene. *J Occup Med* 1988; 30: 791-6.
10. Alory J, Castagnaro M, Skutelsky E, lokamina I. Lectin histo chemistry of infantile lysosomal storage disease associated with osteopetrosis. *Acta Neorppathol Berl* 1994; 87: 594-7.
11. Kudryavtseva MV, Sakuta GA, Skorina AD, et al. Quantitative evaluation of the glycogen content of the hepatocytes from different lobular areas of the normal human liver and in chronic hepatitis of different etiologies. *Tissue Cell* 1996; 28: 470279-85.(Abstract)
12. Altaf FJ. Hepatocellular carcinoma. *Saudi Med J* 2001; 22: 416-8.
13. Kaukiainen A, Vehmas T, Rantala K, et al. Results of common laboratory test in solvent-exposed workers. *Int Arch Occup Environ Health* 2004; 77:39-46.
14. Tomei F, Giuntoli P, Biagi M, et al. Liver damage among shoe repairers. *Am J Ind Med* 1999; 36: 541-7.

Histopathological effects of electric welding fumes on liver in Rats

Arab MR., PhD*; Roosta L., MD**; Sargolzaie Aval F., PhD*; Heydari M., MS***; Karimi M., MD****

Background: Increasing daily development of industry is intimately associated with obligatory use of electric welding process in light and heavy industrial companies. Recent studies showed some deleterious effects of welding fumes generated during electric welding on human bodies in circulatory, blood, gastrointestinal, respiratory and reproductive systems. The aim of the present study was to define the histopathological effects of welding fumes on liver cells and its enzymes in a conditioned medium in gas exposure chamber in Rat as an experimental model.

Methods and Materials: A total number of 60 Sprague Dawley Rats were chosen and divided into experimental (40) and control (20) groups. Each group was subdivided into 2, 4, 6 and 8-week subgroups. The number of Rat in each subgroup of experimental and control group was 10 and 5, respectively. Experimental group Rats were exposed to fumes of electric welding for 2 hour/day and 5 day/week. The rate of air turn over in exposure chamber was fixed to 12-15/hour. The amount of O₃, CO, CO₂, NO + NO₂ and particulate matter were measured by Galtec detectors and Cellulose acetate filter, respectively. According to timetable animals were killed and specimens from liver and blood were taken, tissue specimens fixed in formaline buffer solution and processed routinely. Sections with 5-7 micrometer in thickness were stained by H-E, PAS, PNA, WGA and Alcian blue pH=2.5. The enzyme activity was measured and data were analyzed by Kruskall Wallis and Mann Whitney NPAR tests.

Results: The results of this study showed the presence of small quantities of Gal/GalNac in the sub endothelial connective tissue of central venule and also sialic acid and GluNac in endothelial cells of sinusoid in liver. PAS staining showed that the amount of glycogen particle in hepatocyte changed in experimental group especially in peripheral cells of classic lobule. Statistical analysis showed that there was no any statistically significant difference for alkaline phosphatase, ALT and AST between all studied groups.

Conclusions: It seems that hepatocytes and its own serum enzyme activity changes are time dependent after exposure to welding fumes. The future studies will probably showed the exact role of these fumes in hepatocyte and its relation to pathophysiology of liver diseases.

KEY WORDS: Liver, Welding fumes, Lectin, Terminal Sugar

* Anatomy Dept, Faculty of Medicine, Zahedan University of Medical Sciences and health services, Zahedan, Iran.

** General physician.

*** Biochemistry Dept, Faculty of Medicine, Zabol University of Medical Sciences and health services, Zabol, Iran.

**** Pathology Dept, Faculty of Medicine, Zahedan University of Medical Sciences and health services, Zahedan, Iran.